機能性材料評価学特論 第 12 回

前回:計装化押込み試験による材料特性評価理論

 $(その 5, 可変 <math>\epsilon$ 係数補正および半径変位補正につい

て)



今回:計装化押込み試験による材料特性評価理論

(その6, 押込み寸法効果について)

9. 計装化押込み硬さ試験による材料特性評価理論 (その 6)

"Indentation Size Effects in Crystalline materials: A Law for Strain Gradient Plasticity", W. D. Nix and H. Gao, J. Mech. Phys. Solids, 46(3) (1998) 411-425

9.1 要約

- ●結晶性材料において観察される「押込み寸法効果(Indentation Size Effect, ISE)」について、「幾何学的に必要な転位(Geometrically Necessary Dislocation, GN 転位)」の概念を用いて理解できることを示した
- · ISEを言さばするモデルとして以下の計を事出した。

Ho= 11+ ht H15えられた海はんに下けるを見き、 Ho:無限海はでのなかさい。 が能の男なる金目 ht: たろ形が伏やせん断弾作生作数。 Hoに依存する特徴長さ

サラの他の村質の言式写《结果が上式によく一致了ることを テレた。

9.2 「GN 転位」とは?

・塑性変形のメカニでの

結晶粒界が転位運動に及ぼす影響

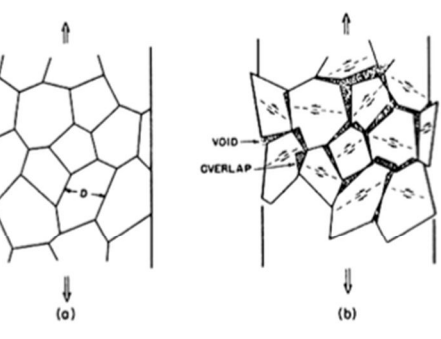
塑性変形は転位の運動に伴って進行する

であからする(転位のイ中長や増多道)

多行品の場合、すべり系が異なる ア為工多行品がに本る人では年野か

できないしませんでの手気をの学績一つ多然品打井において、個々の経路の

理性変形の程度や方面は異なるため、全体としての変形との不連続性がほじてしまう



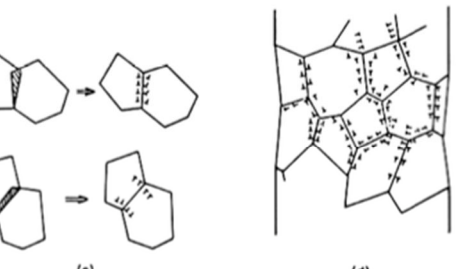


図 9.1 GN 転位の概念

McElhaney et al. (1997)

cold worked polycrystalline Cu (111) single crystal Cu

2.0

<u>9.2(続き)</u>

拉界近傍では局所的る塑性 この不連続性を解消するため: 芝形(ルポツの西己)が存在(ひり、 ← BULZTRU LZ 局产行的农业人工 TGN 乾位, 年時があると考える

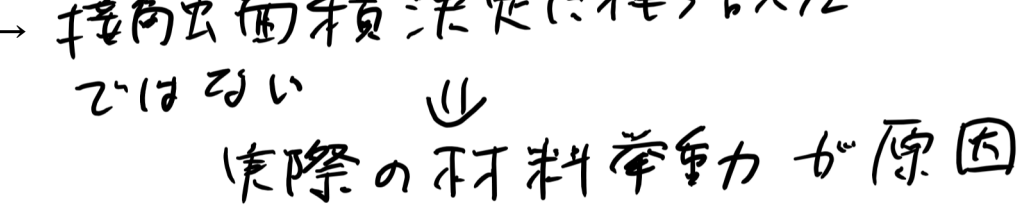
2.0

0.5

(GPa) 1.5

9.3 本論文におけるモデル

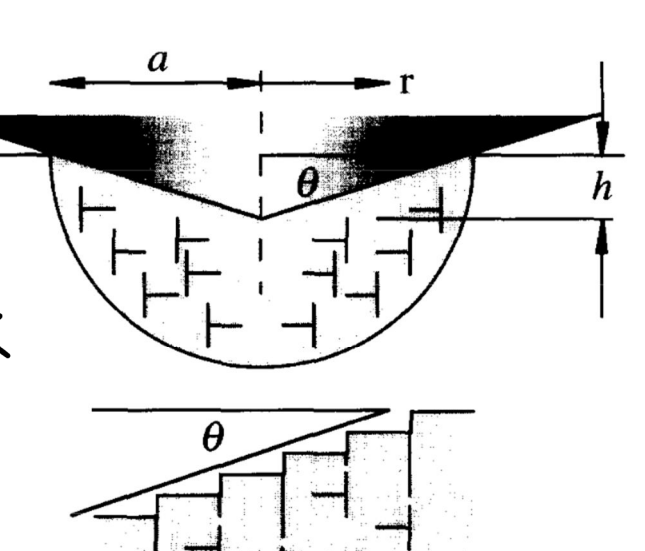
- ●焼きなまし済(111)単結晶銅および冷間 加工済多結晶銅に対する押込み試験 結果 (バーコビッチ圧子)
- 石と言式野ら間の持角出 面積について
- → ハペイルアッフ。シンクインの影響。0.0 L は珍慮されている.
- → 接角出面看洪龙(:)伴う詩差 ではない



●GN 転位を用いて ISE を記述するためのモデル 图1个图金位在子后よ了干型201

. 押込みによる塑性変形 が、表面に垂直なパーかース ハウトルをキまつルーつのにの GN転位によりでははみると仮笑

. 圧子と表面のです角:0 按例出半径:Q 压痕深:h



Depth Dependence of the Hardness of Copper

1.0

Indentation Depth (µm)

図 9.2 押込み寸法効果

図 9.3 押込みによる GN 転位形成モデル

9.3(続き)

・もし個々の転位ループが表面に沿って等間隔 S で存在していると仮定

$$\tan \Theta = \frac{h}{\alpha} = \frac{b}{5} \rightarrow S = \frac{ba}{h} - (1)$$

・塑性変形領域内の全 GN 転位長さ: λ

生変形領域内の全 GN 転位長さ:
$$\lambda$$

 $d\lambda = 2\pi r \frac{dr}{s} = 2\pi r \frac{h}{ba} \frac{dr}{dr} - (2)$
 $\lambda = \int_0^a \frac{h}{ba} 2\pi r dr = \frac{\pi h}{ba} - (3)$

$$\cdot$$
GN 転位密度 $\rho_G = \frac{\lambda}{V} = \frac{3}{2} \frac{h}{ba^2} = \frac{3}{2} \frac{1}{bh} + \frac{3}{bh} + + \frac{3}{bh}$

・せん断応力 τ と転位密度の関係(ベイリーハーシュの関係):

d:定数

b:バーサースパクトレ

给针的仁蓄精动的 (55年記位)

小:也从好写中中学教局的智的标位公司

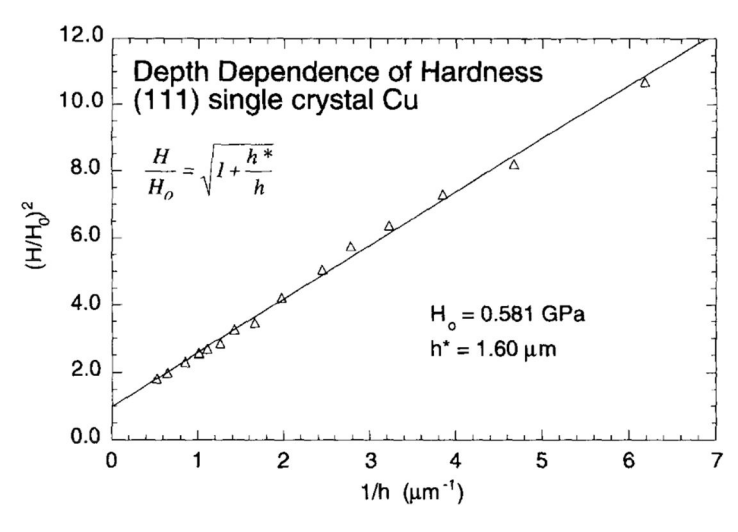
●式(5)~(8)より次式(9)が求まる

$$\frac{H}{Ho} = \sqrt{1 + \frac{h^*}{h}} - (9)$$

$$= \frac{3\sqrt{3}}{4} \times \frac{3\sqrt{3}}{4} \times \frac{\sqrt{10}}{4} \times \frac{\sqrt{$$

9.4 試験結果との比較

-)図 9.2 のデータを式(9)の形式に従い(H/H₀)² と 1/h の関係としてプロットすると直線が 得られる
- tからがり、他自己がりをます。



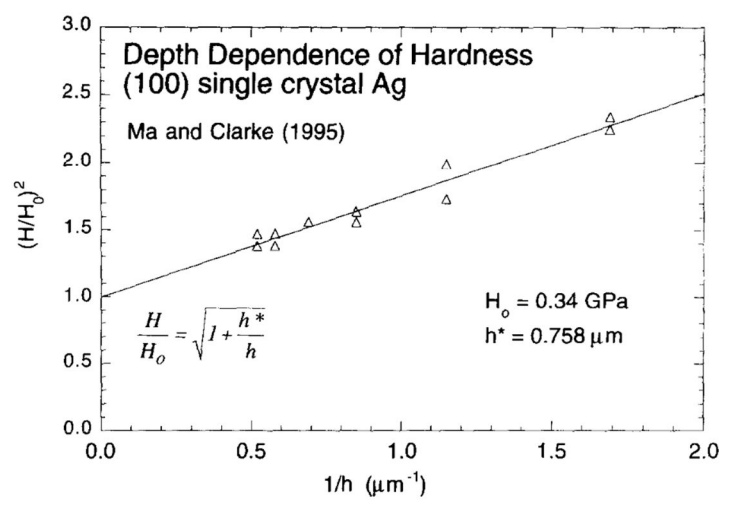
Depth Dependence of Hardness cold worked polycrystalline Cu 3.0 2.0 $H_0 = 0.834 \text{ GPa}$ $h^* = 0.464 \mu m$ 6 1/h (µm⁻¹)

図 9.4 式(9)の適用[(111)単結晶銅]

図 9.5 式(9)の適用[冷間加工多結晶銅]

約0.14m以下のデンタ: 上四、よよび图9.2からも

- たな物がれている。
 圧み 先生物形がなの不なからを計り作するため、
- いずれの言式対にないても、(9)刊との一致を示した



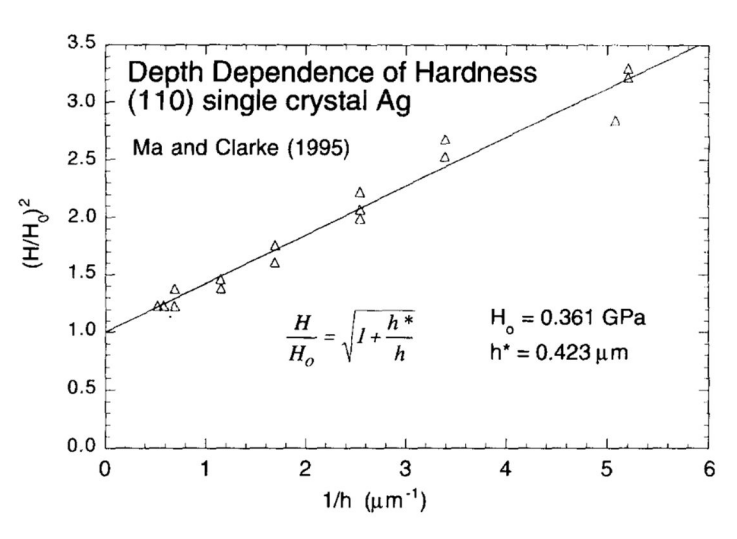


図 9.6 式(9)の適用[他者, (100)単結晶銀]

図 9.7 式(9)の適用[他者, (110)単結晶銀]

異なる村質の先行研究結果への適 一段好な一致

9.4 (続き)

- ●このモデルにおけるHoとh*は式(11)により関連づけられる
 → Hoがきたたといいは、圧子 冊りがにによるこれまび直 エエが
 式:(11)から h*の 予ラリイをがすといるいる。
- ・本論文の押込み試験の使用圧子(バーコビッチ圧子)の相当接触面積:

$$A_c = 24.5h^2 = \pi Q^2 - (2)$$

 $\pm \frac{1}{2} \pm \frac{1}{2} \pm \frac{1}{2} \pm 0.358$

・式(11)に式(13)および既知の値を代入→h*の予測値を算出

Material	H ₀ (GPa)	h* (μm)	μ (GPa)	b (nm)	α	h (predicted) (μm)
(111) single crystal Cu (annealed)	0.581	1.60	42	0.256	0.5	1.73
Polycrystalline Cu (cold worked)	0.834	0.464	42	0.256	0.5	0.840
(100) single crystal Ag**	0.340	0.757	26.4	0.286	0.5	2.23
(110) single crystal Ag**	0.361	0.432	26.4	0.286	0.5	1.98

表 9.1 h*の測定値と予測値

- (111)単結晶全同ではまずまず一致、しかし他の結果 ではかなりの差が見られた
- → × のん道の早り響
- ●H₀が高い材料(材料の本質的硬さが 高い)の場合:

式(11)より、かがかしてなる

GN転位によるではの場分 (式(9)石辺)が(に近かく

却这对过法却果口瓷观 しない. 5

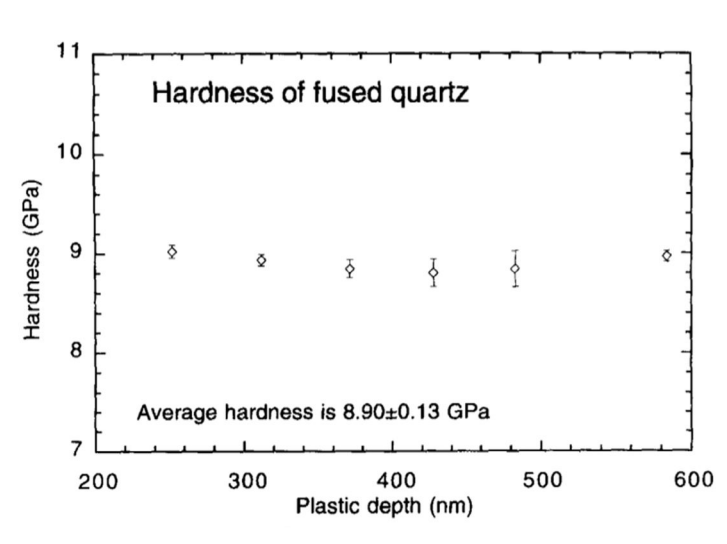


図 9.8 溶融石英の硬さにおける押込み寸法依存性

^{**} Ma and Clarke (1995).